



# Perception pour les Véhicules autonomes

## Présentation ISN 2018

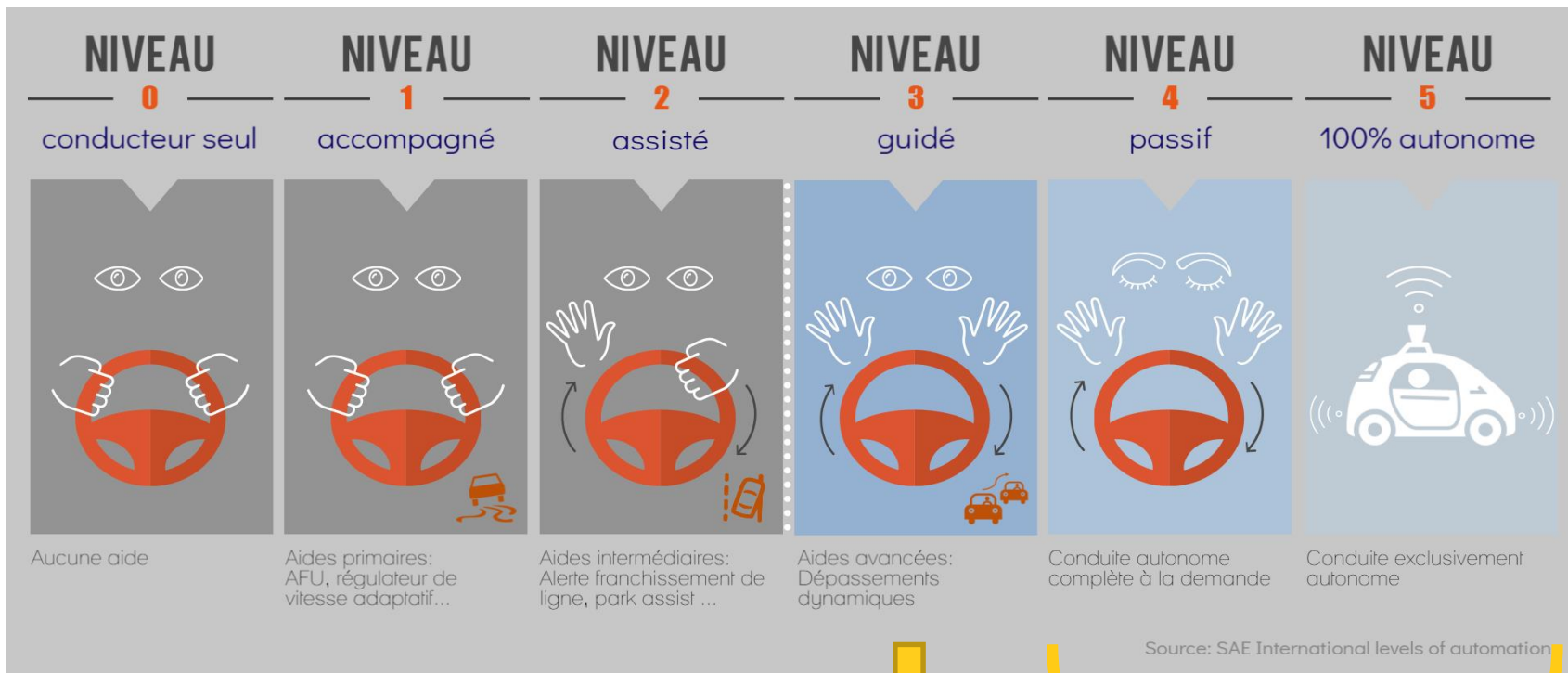
### N. Turro & équipe Chroma



# 01

## Introduction aux véhicules autonomes

# Véhicules Autonomes, de quoi parle-t-on?



Largement commercialisé



R & D

Environnement maîtrisés :



# État des lieux

**Février 2018** : Waymo : 5 millions de km, Uber 3.2 millions, PSA : 150000 (voies rapides)

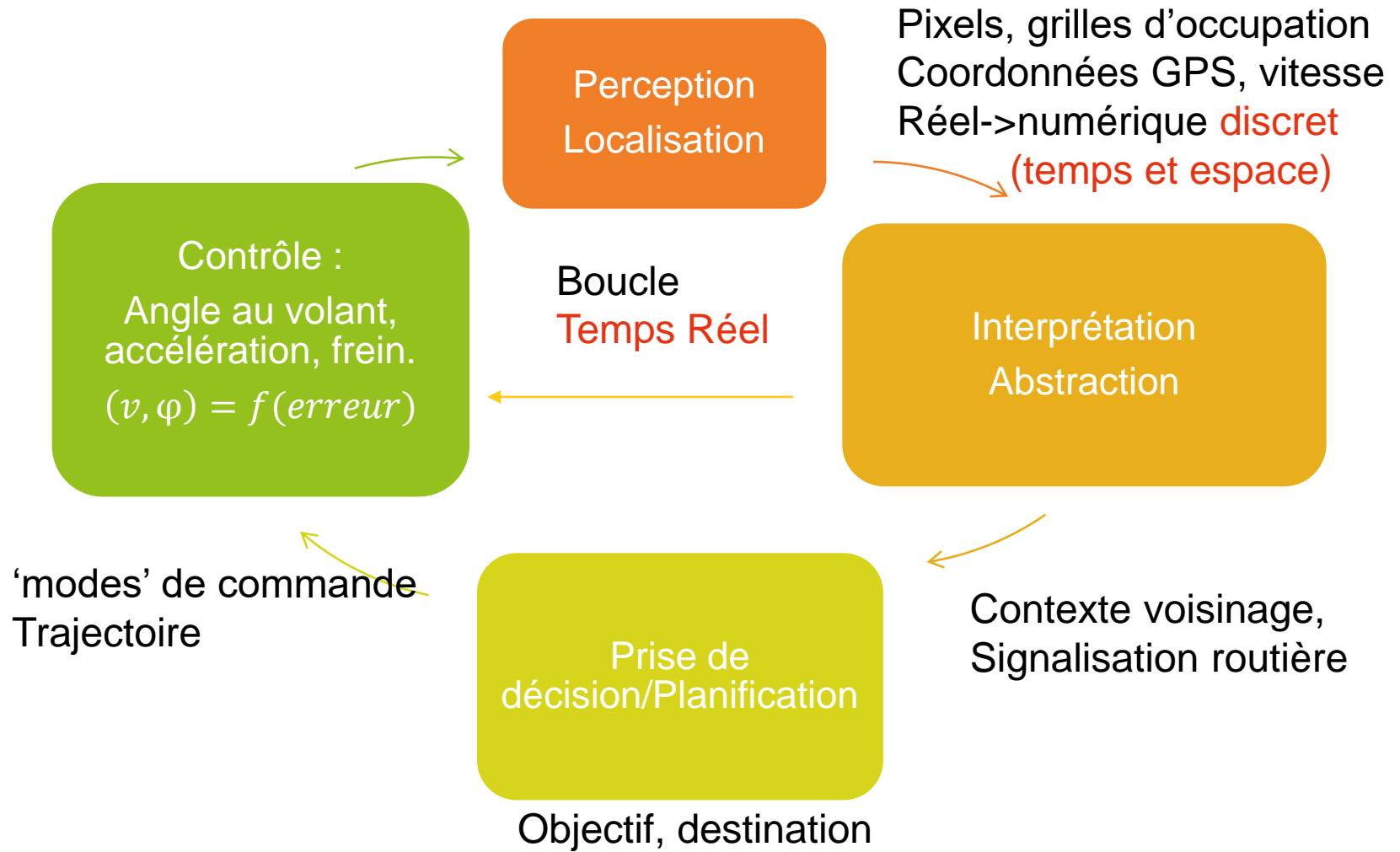
**Decembre 2017, rapport** : “Report on Autonomous Mode Disengagements For Waymo Self-Driving Vehicles in California “30 véhicules pour 563200 km parcourus

- 63 interventions humaines :
- 6 sur autoroute, 57 dans rues
- Problèmes prédominants :  
panne matérielle, incertitudes de perception, configuration du véhicule et de son environnement
- Valeo, Nvidia, Uber : > 1 reprise en main tous les 10km

## **Accidents mortels :**

- 1 mort tous les 100Millions km en conduite humaine
- Tesla autopilot 1er mort a 130Million km, 2eme récemment
- Uber, 1 mort en 3.2 millions...

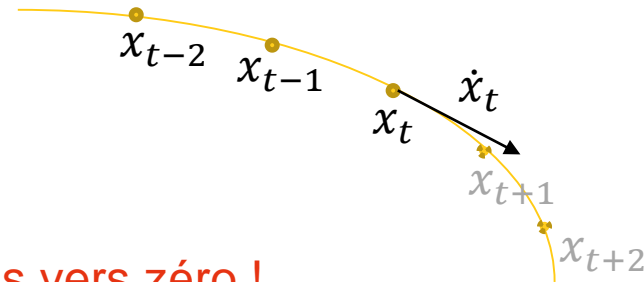
# Comment cela fonctionne ?



# Perception numérique : discrétisation du temps

Continu

$$\begin{cases} \dot{x}_t = \lim_{dt \rightarrow 0} \left( \frac{x_t - x_{t-1}}{dt} \right) \\ \ddot{x}_t = \lim_{dt \rightarrow 0} \left( \frac{\dot{x}_t - \dot{x}_{t-1}}{dt} \right) \end{cases}$$



Ne tend pas vers zéro !

Discret

$$\begin{cases} \dot{x}_t = \frac{x_t - x_{t-1}}{\Delta t} \\ \ddot{x}_t = \frac{\dot{x}_t - \dot{x}_{t-1}}{\Delta t} = \frac{x_t - 2x_{t-1} + x_{t-2}}{(\Delta t)^2} \end{cases}$$

Passé !



Filtrage = retard

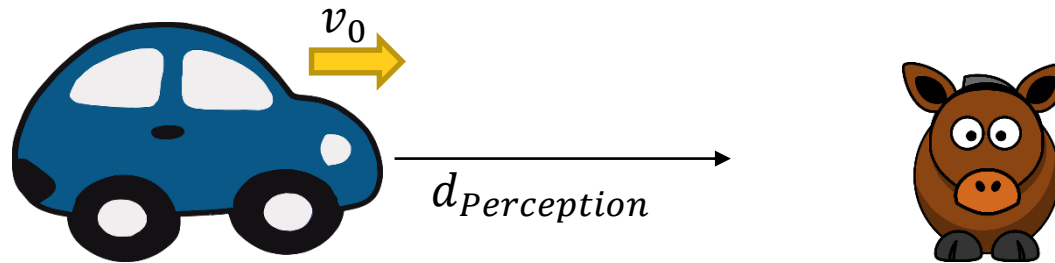
Interpolations (linéaire, cercle, bézier) pour valeurs intermédiaire, rayon de courbure...

Même avec des mesures parfaites, nos calculs seront approximatifs

# Notion de Temps réel

En informatique, on parle d'un **système temps réel** lorsque ce système est capable de contrôler (ou piloter) un procédé physique à une vitesse adaptée à l'évolution du procédé contrôlé

Etant donné un capteur qui perçoit des véhicules à 10Hz à 50m quelle vitesse est-il prudent de se déplacer ? Relation avec le temps de calcul  $t_c$



On veut :  $d_{arrêt} < d_{Perception}$

$$d_{arrêt} = v_0 t_{réaction} + d_{freinage}$$

$$d_{freinage} = \frac{-v_0^2}{2a_0}$$

$$t_{réaction} = t_{perception} + t_{calcul} = \frac{1}{f_p} + t_c$$

$$\Rightarrow \frac{v_0^2}{2a_0} + v_0 \left( \frac{1}{f_p} + t_c \right) < d_{Perception}$$

$\Rightarrow$

$$a_0 = -10 \text{ ms}^{-2} ; f_p = 10\text{Hz}$$

$$d_{Perception} = 50\text{m}$$

$$t_c = \frac{1}{f_p} = 0.1\text{s} \Rightarrow v_0 < 107 \text{ km/h}$$

$$t_c = \frac{10}{f_p} = 1\text{s} \Rightarrow v_0 < 81 \text{ km/h}$$

# 02

## Perception et fusion de capteurs

# Perception, un des enjeux majeurs

## Accident Tesla, Uber



**Proprioceptifs : GPS, odométrie, centrale inertielle**

**Extéroceptifs**

Capteur	Défauts
Caméras	Sensibles aux conditions d'éclairage
Lidars	Résolution verticale/prix, vitres, calibration
Radars	Résolution angulaire
Ultra-sons	Portée, résolution
Communication	Limitée infrastructure/véhicules

Capteurs



**Pas de capteur idéal, combiner l'information !**

# Fusion de capteur simple : localisation

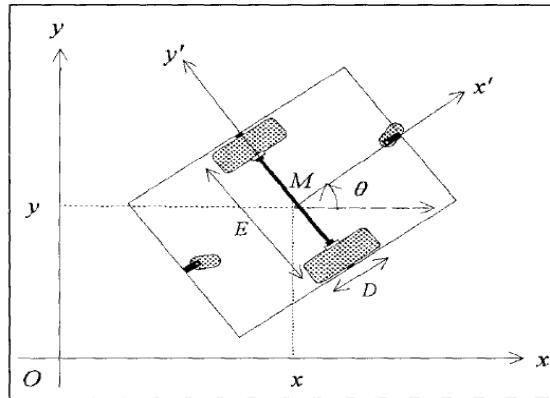
3 capteurs proprioceptifs  
imparfaits



Etat simple : position du  
véhicule

**GPS** : Système satellitaire (GNSS, GLONASS, GALILEO) + EGNOS

**Odométrie** :



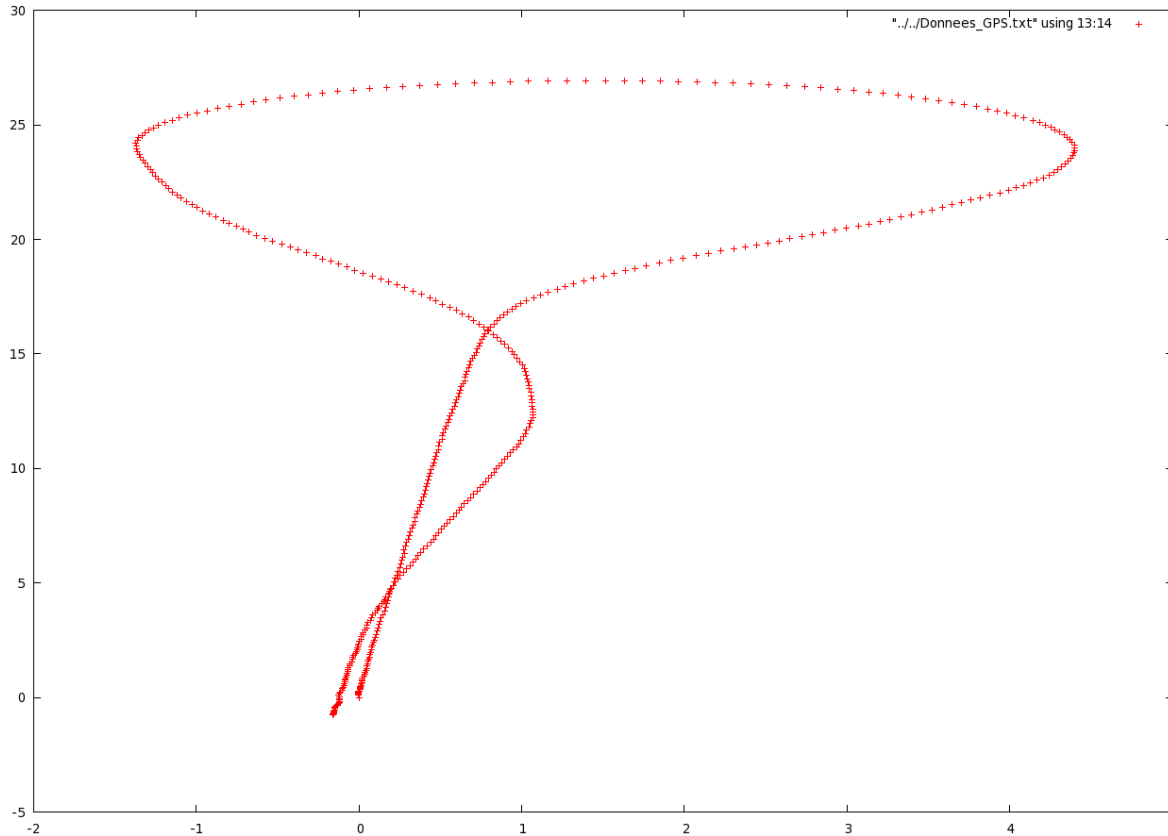
$$X_{n+1} = X_n + \frac{S_R + S_L}{2} \cos(\theta_n)$$

$$Y_{n+1} = Y_n + \frac{S_R + S_L}{2} \sin(\theta_n)$$

$$\theta_{n+1} = \theta_n + \frac{S_R - S_L}{\text{Largeur de l'essieu}}$$

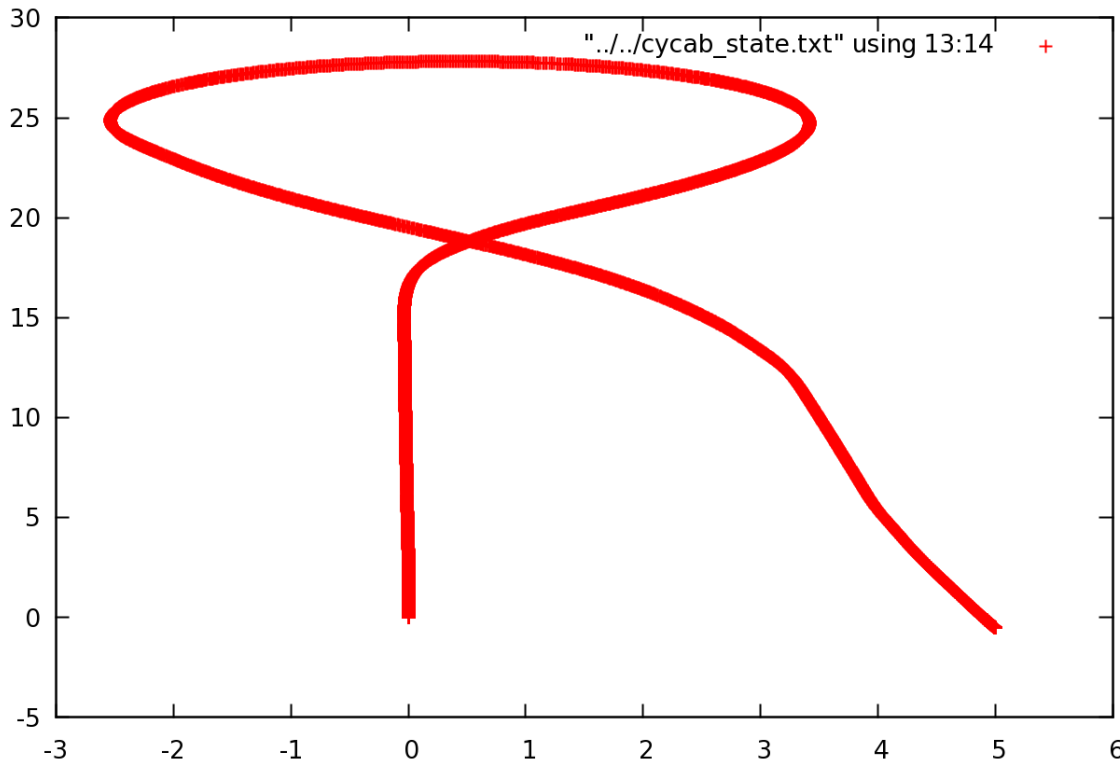
**Centrale inertielle** : mesure des accélérations linéaires et angulaires

# Fusion de capteur pour la localisation : GPS



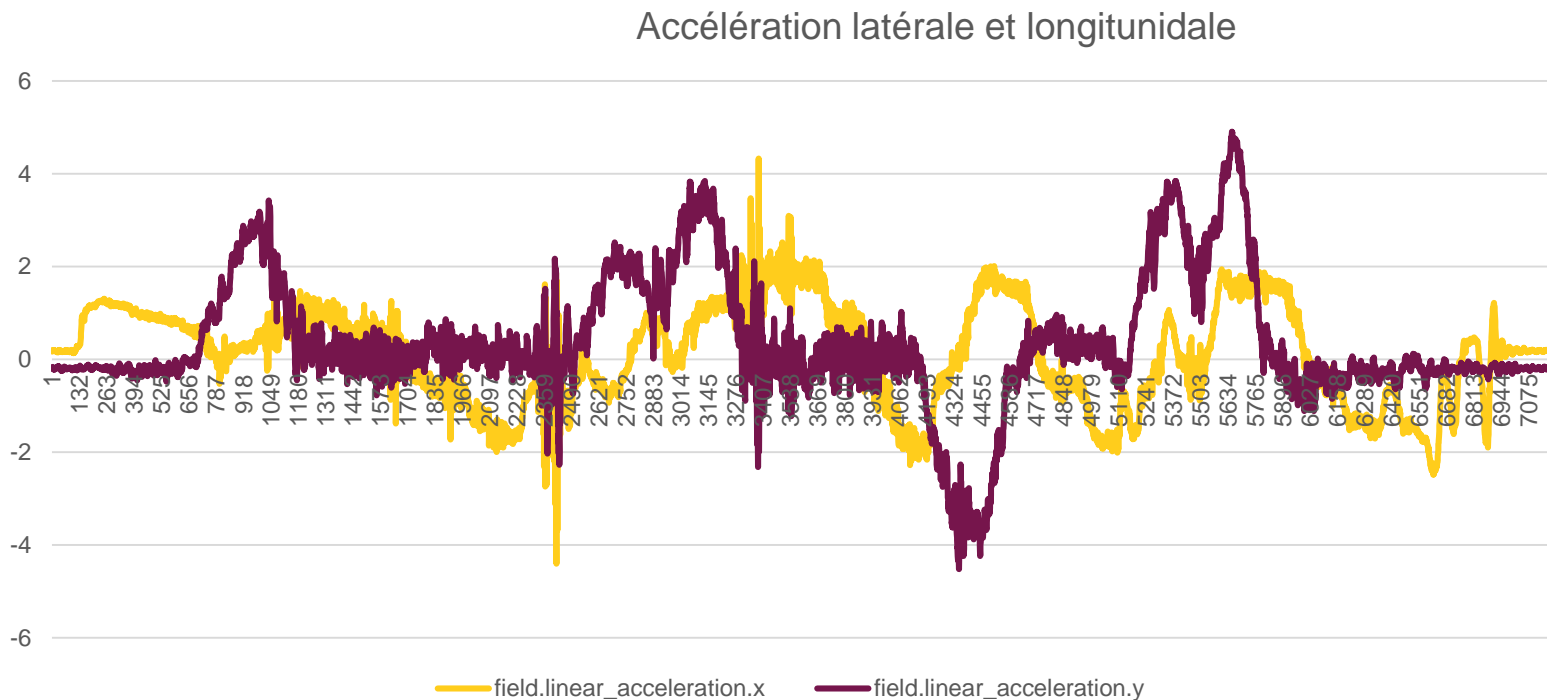
- Fréquence : 1Hz, 28m à 100km/h
- Tunnels
- Bruit/Sauts

# Fusion de capteur pour la localisation : Odométrie



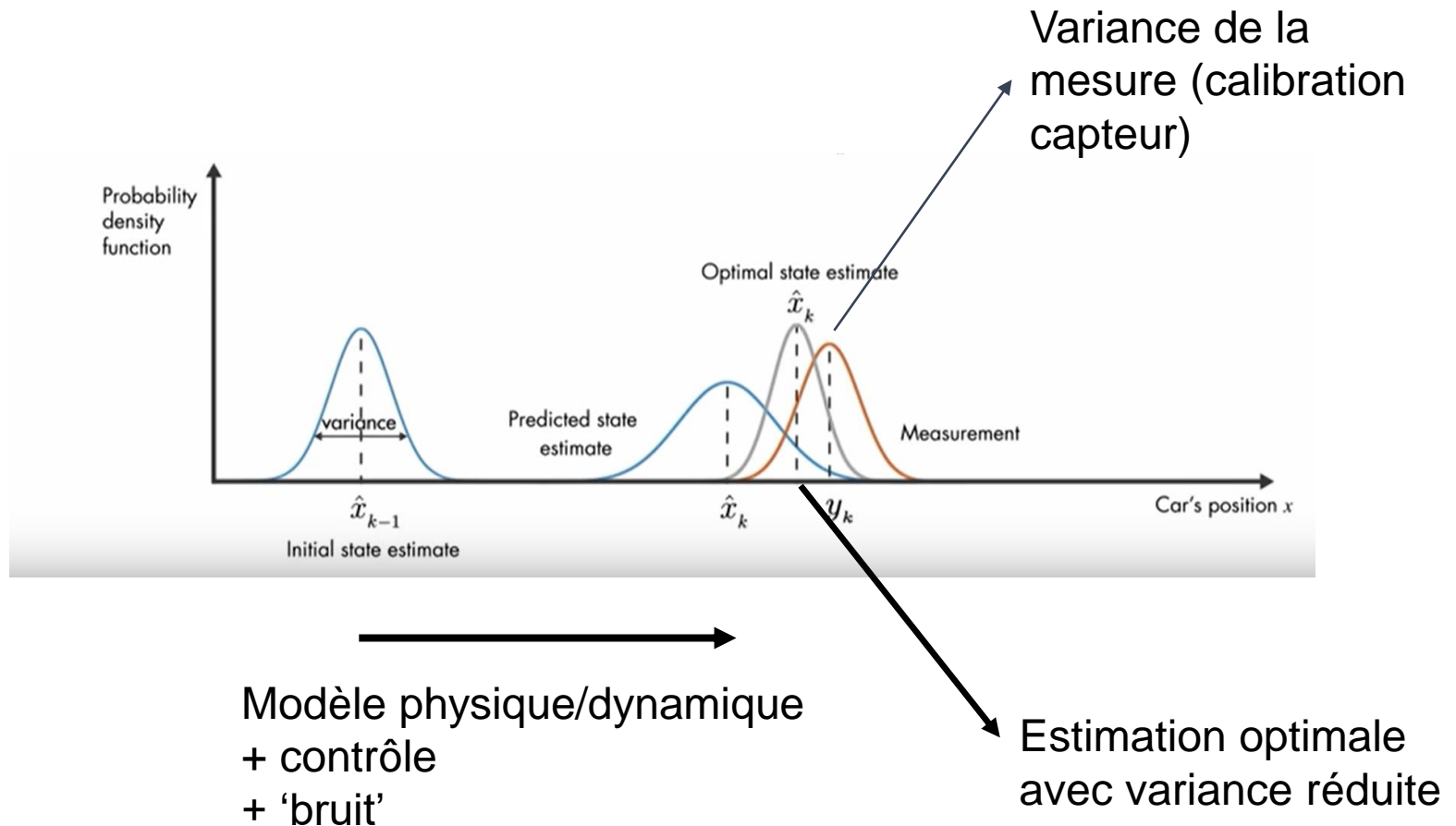
**Glissement**  
**Dérive angulaire**

# Fusion de capteurs pour la localisation : Centrale inertielle



**Bruit, BIAIS d'installation, dérivation double !**

# Incertitudes et modèles pour filtrage de Kalman



# Fusion de capteur pour la localisation : Filtre de Kalman

## Prédiction :

$$\hat{\mathbf{x}}_{k|k-1} = \mathbf{F}_k \hat{\mathbf{x}}_{k-1|k-1} + \mathbf{B}_k \mathbf{u}_k \text{ (état prédit)}$$

$$\mathbf{P}_{k|k-1} = \mathbf{F}_k \mathbf{P}_{k-1|k-1} \mathbf{F}_k^T + \mathbf{Q}_k \text{ (estimation prédite de la covariance)}$$

Entrées, mesures

## Mise à jour :

$$\tilde{\mathbf{y}}_k = \mathbf{z}_k - \mathbf{H}_k \hat{\mathbf{x}}_{k|k-1} \text{ (innovation)}$$

$$\mathbf{S}_k = \mathbf{H}_k \mathbf{P}_{k|k-1} \mathbf{H}_k^T + \mathbf{R}_k \text{ (covariance de l'innovation)}$$

$$\mathbf{K}_k = \mathbf{P}_{k|k-1} \mathbf{H}_k^T \mathbf{S}_k^{-1} \text{ (gain de Kalman optimal)}$$

$$\hat{\mathbf{x}}_{k|k} = \hat{\mathbf{x}}_{k|k-1} + \mathbf{K}_k \tilde{\mathbf{y}}_k \text{ (état mis à jour)}$$

$$\mathbf{P}_{k|k} = (\mathbf{I} - \mathbf{K}_k \mathbf{H}_k) \mathbf{P}_{k|k-1} \text{ (covariance mise à jour)}$$

Sorties

avec

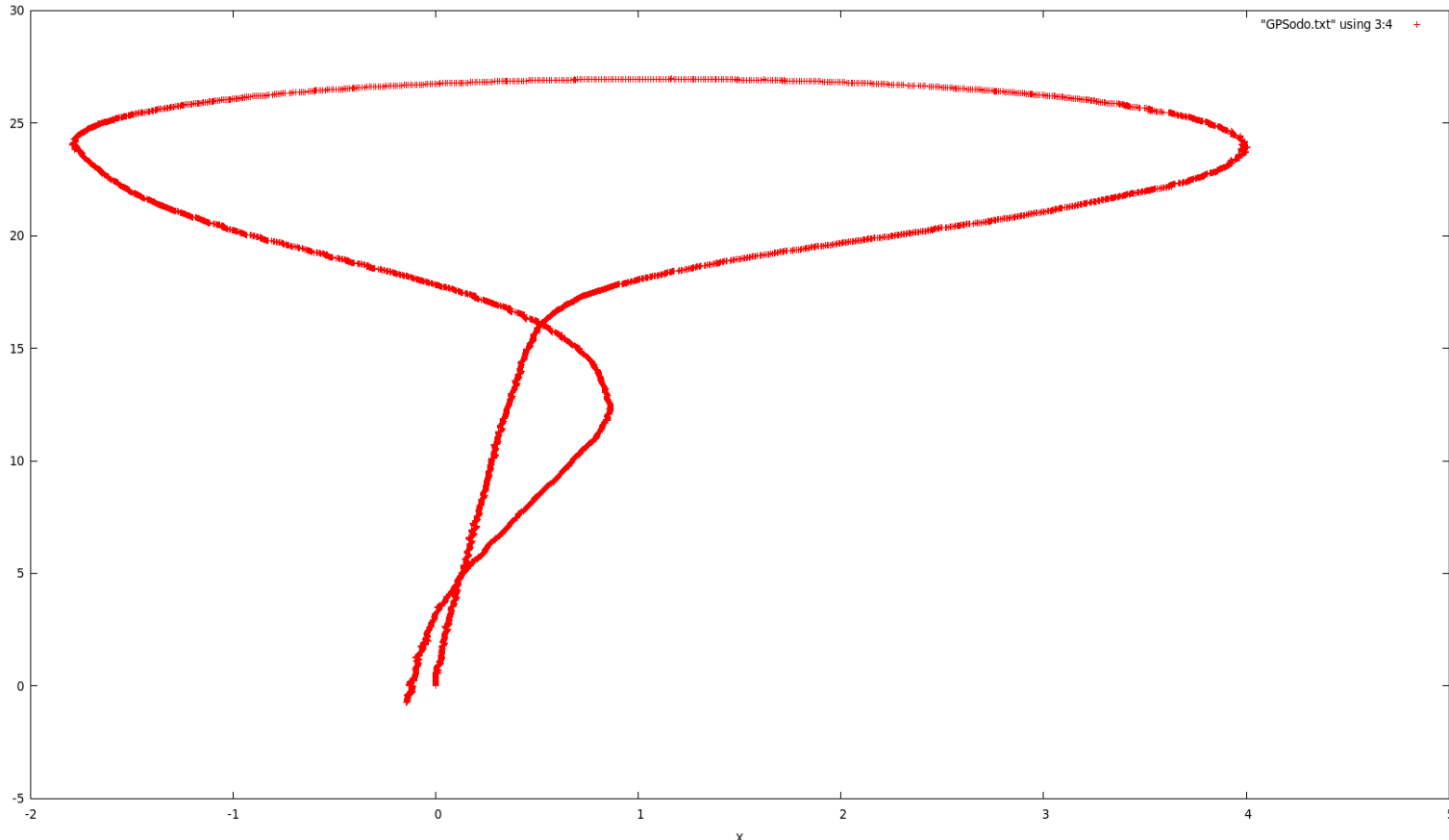
- $\mathbf{F}_k$  : matrice qui relie l'état précédent k-1 à l'état actuel k
- $\mathbf{u}_k$  : entrée de commande
- $\mathbf{B}_k$  : matrice qui relie l'entrée de commande u à l'état x
- $\mathbf{P}_{k|k-1}$  : matrice d'estimation *a priori* de la covariance de l'erreur
- $\mathbf{Q}_k$  : matrice de covariance du bruit du processus (en anglais *process noise*)

avec

- $\mathbf{z}_k$  : observation ou mesure du processus à l'instant k
- $\mathbf{H}_k$  : matrice qui relie l'état  $\mathbf{x}_k$  à la mesure  $\mathbf{z}_k$
- $\mathbf{P}_{k|k}$  : matrice d'estimation *a posteriori* de la covariance de l'erreur
- $\mathbf{R}_k$  : matrice de covariance du bruit de mesure
- $\mathbf{I}$  : matrice identité aux dimensions adéquates

$$\mathbf{X}_k = \begin{bmatrix} X \\ Y \\ X' \\ Y' \end{bmatrix} \quad \mathbf{F}_k = \begin{bmatrix} 1.0 & 0.0 & dt & 0.0 \\ 0.0 & 1.0 & 0.0 & dt \\ 0.0 & 0.0 & 1.0 & 0.0 \\ 0.0 & 0.0 & 0.0 & 1.0 \end{bmatrix}$$

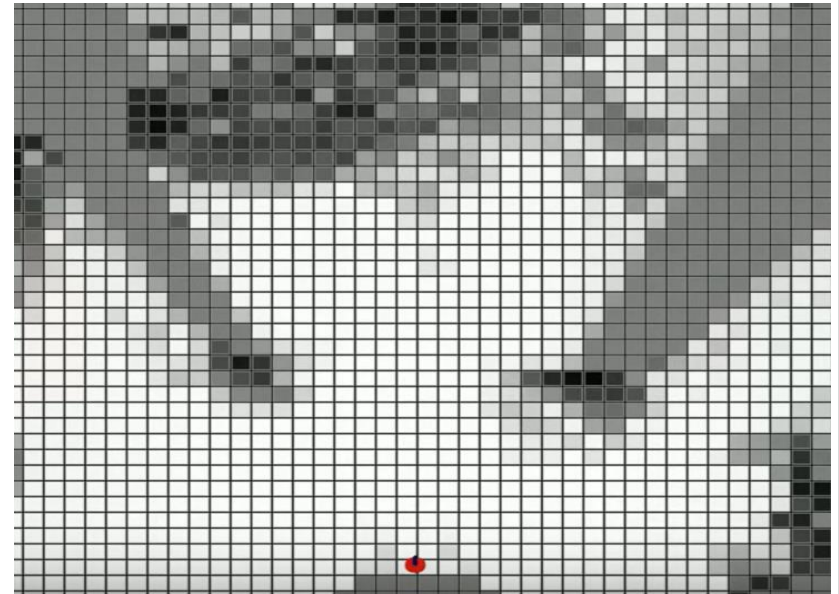
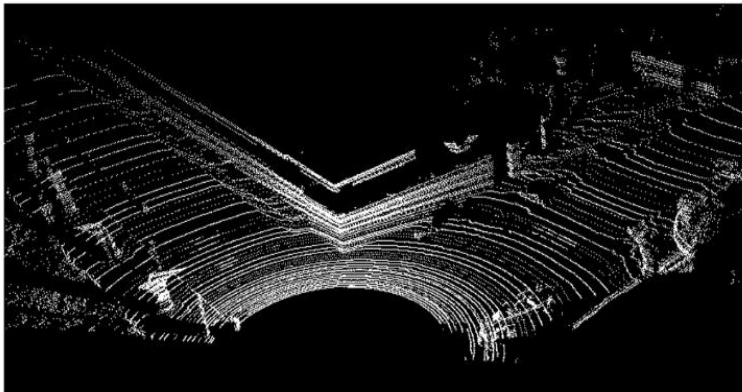
# Fusion de capteur pour la localisation : Odométrie + GPS par filtrage de Kalman



# Grille d'occupation Bayésienne



(b) 3D point cloud



Grille vue de dessus

Valeur = probabilité d'occupation

0 = blanc = libre

1 = noir = occupé

0.5 = gris = on ne sait pas (pas observé..)

Représentation commune à tous les capteurs !

# Filtrage et fusion Bayésienne

$$\mathbf{P}(A|B) = \frac{P(B|A)P(A)}{P(B|A)P(A) + P(B|\bar{A})P(\bar{A})} :$$

fait                      Observation                      Fiabilité la detection (y compris fausses alertes)

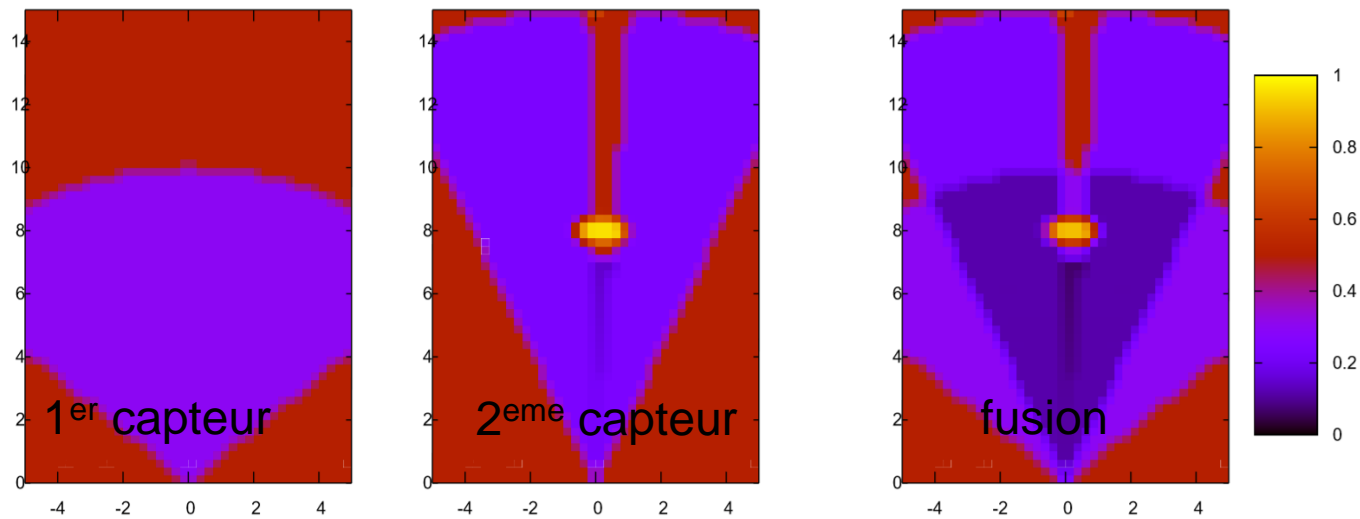
## Thèse C. Coué (Inria e-motion) :

Pour S capteurs :

$$P(E_x | z_1 \dots z_S x) = \frac{P(E_x | x) \prod_{s=1}^S P(z_s | E_x x)}{\sum_{E_x} (P(E_x | x) \prod_{s=1}^S P(z_s | E_x x))}$$

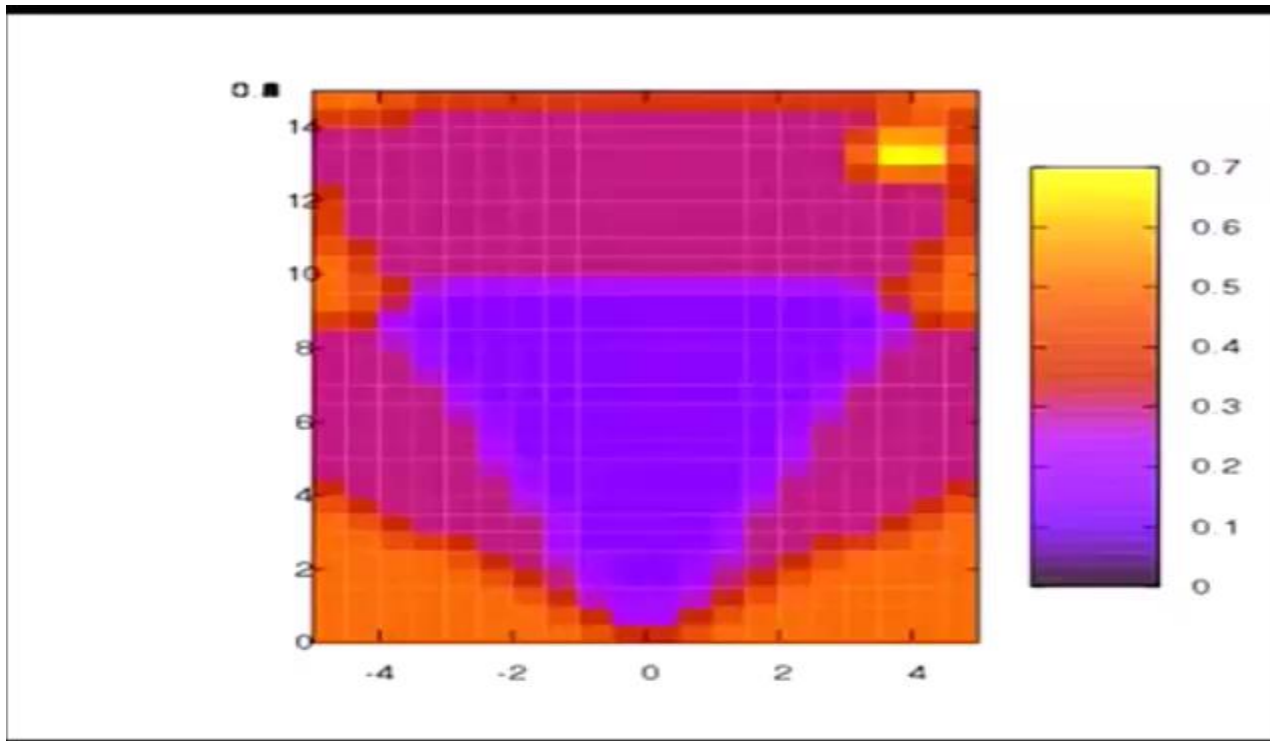
à priori                      observation

# Fusion de grilles d'occupation



# Fusion de grilles d'occupation

Fusion 'temporelle' (prédiction/observation/mise à jour)



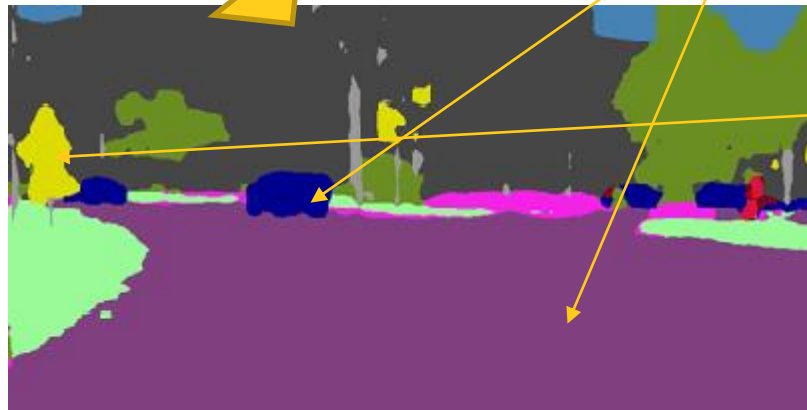
# 03

## Interprétation, abstraction et apprentissage profond

# Réseaux de neurones convolutifs pour la perception



CNN

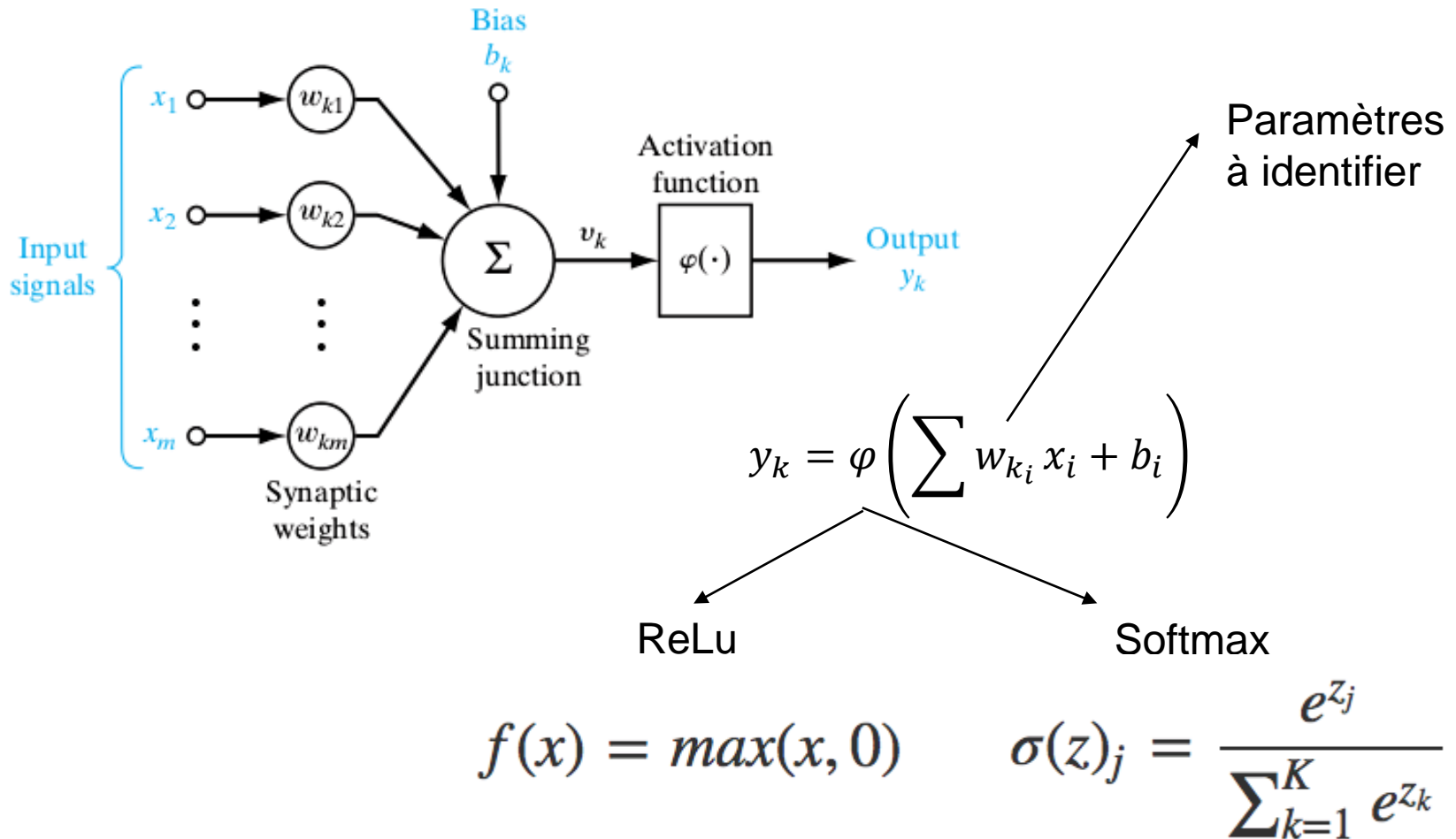


Interprétation  
Abstraction

Group	Classes
flat	road · sidewalk · parking <sup>+</sup> · rail track <sup>+</sup>
human	person <sup>+</sup> · rider <sup>+</sup>
vehicle	car <sup>+</sup> · truck <sup>+</sup> · bus <sup>+</sup> · on rails <sup>+</sup> · motorcycle <sup>+</sup> · bicycle <sup>+</sup> · caravan <sup>+</sup> · trailer <sup>+</sup>
construction	building · wall · fence · guard rail <sup>+</sup> · bridge <sup>+</sup> · tunnel <sup>+</sup>
object	pole · pole group <sup>+</sup> · traffic sign · traffic light
nature	vegetation · terrain
sky	sky
void	ground <sup>+</sup> · dynamic <sup>+</sup> · static <sup>+</sup>

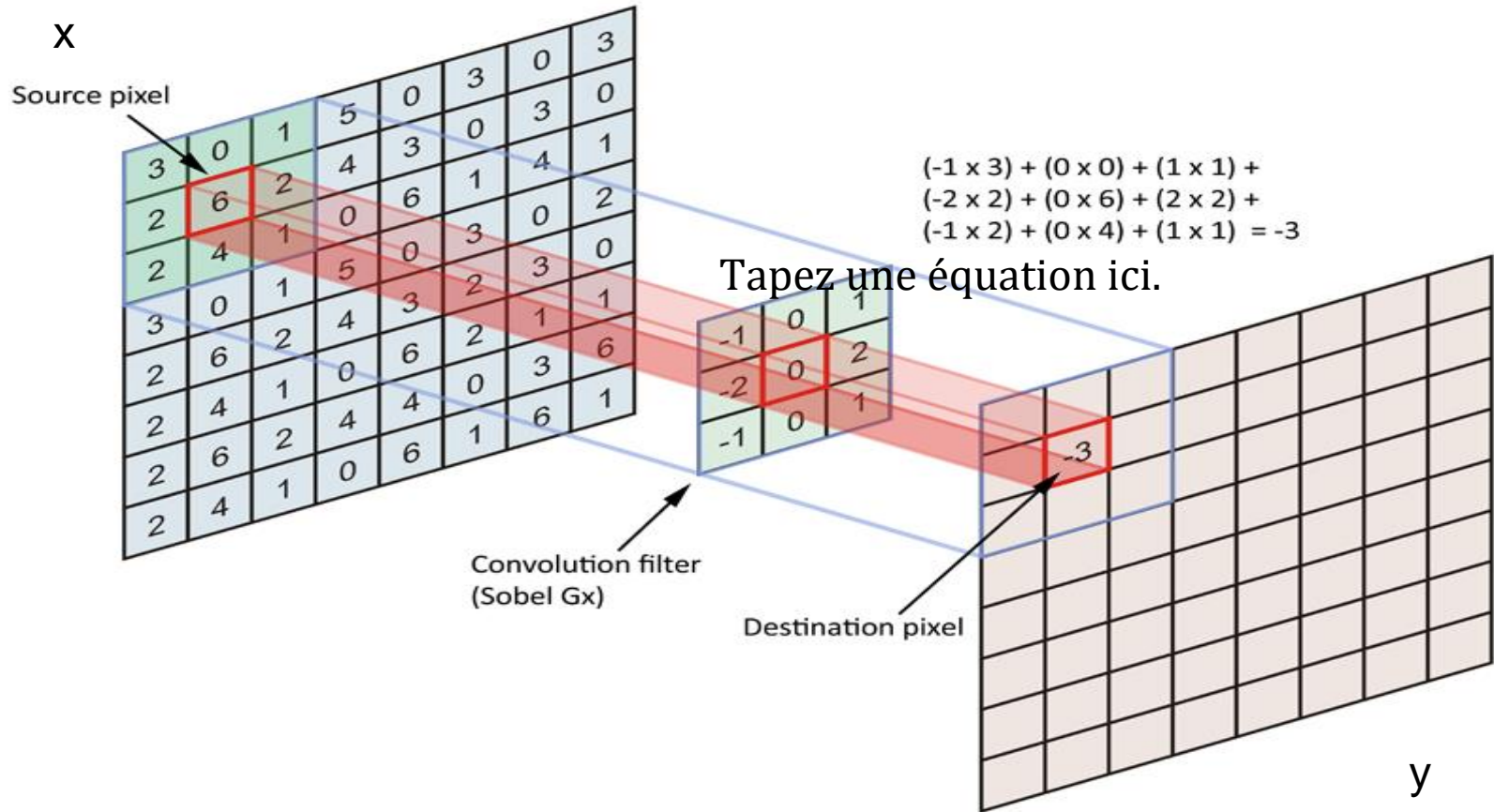
# Réseaux de neurones convolutifs pour la perception

## Un neurone



# Réseaux de neurones convolutifs pour la perception

## Convolution



# Réseaux de neurones convolutifs pour la perception

## Cas particulier, image et convolution



Détection de contours

Sobel



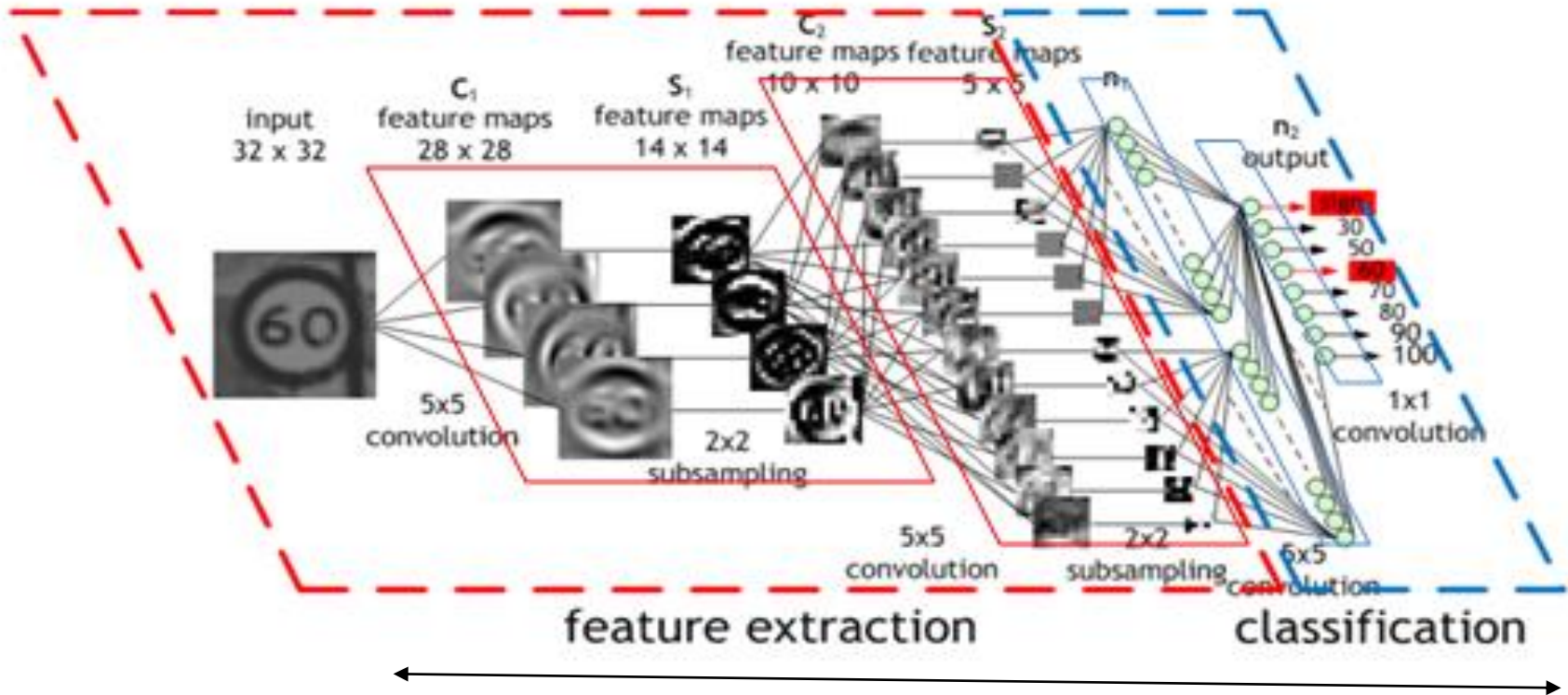
\*

1	0	-1
2	0	-2
1	0	-1

=

# Réseaux de neurones convolutifs pour la perception

## Réseau global



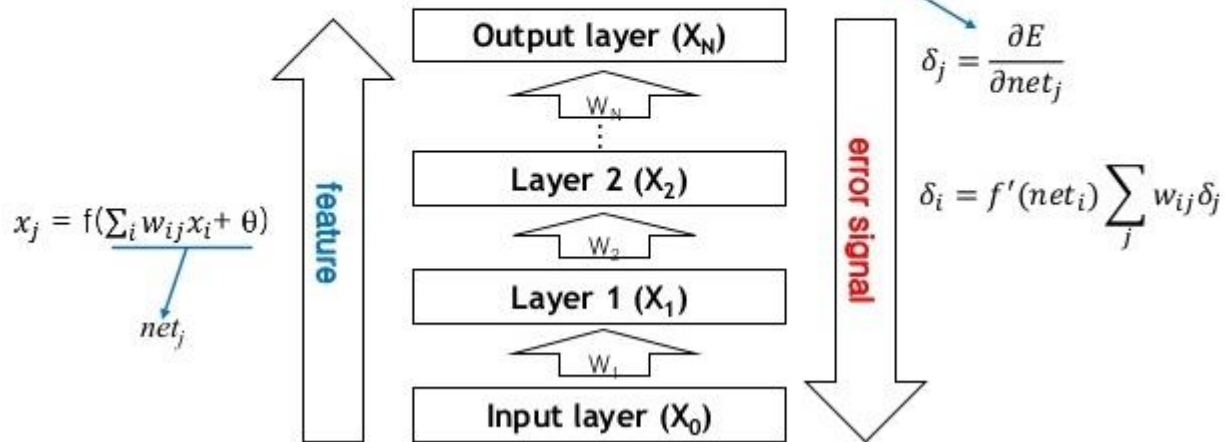
(apprentissage) PROFOND : millions de paramètres

# Réseaux de neurones convolutifs pour la perception

## Apprentissage

- Gradient descent algorithm to minimize error  $E$ .

$$w_{ij} \leftarrow w_{ij} - \eta \frac{\partial E}{\partial w_{ij}} \quad \frac{\partial E}{\partial w_{ij}} = \frac{\partial E}{\partial net_j} \frac{\partial net_j}{\partial w_{ij}} = \delta_j x_i$$



Nécessite des milliers d'entrées classifiées pour l'apprentissage

# Réseaux de neurones convolutifs pour la perception

## La révolutions des années 2010+

### Conjonction de :

- **Puissance de calcul : GPU, massivement parallèle**
- **Bases de données numériques :**



- **Frameworks informatiques puissants :**
  - Ex : Tensorflow, Keras

# Réseaux de neurones convolutifs pour la perception

## Keras

```
model = Sequential()

model.add(Convolution2D(32, 3, 3, activation='relu',
input_shape=(1,28,28)))
model.add(Convolution2D(32, 3, 3, activation='relu'))
model.add(MaxPooling2D(pool_size=(2,2)))
model.add(Dropout(0.25))

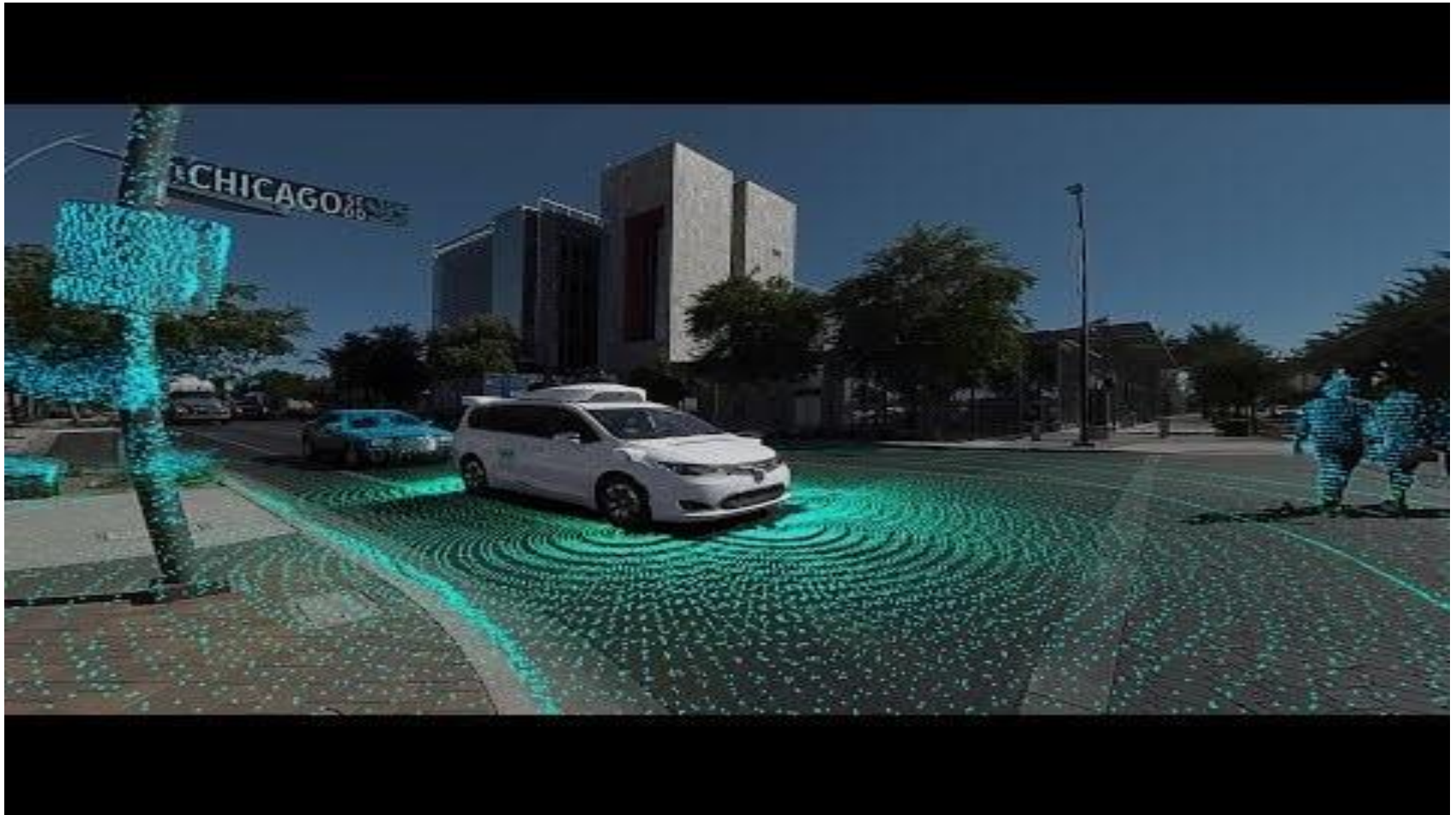
model.add(Flatten())
model.add(Dense(128, activation='relu'))
model.add(Dropout(0.5))
model.add(Dense(10, activation='softmax'))
model.compile(loss='categorical_crossentropy',
optimizer='adam',
metrics=['accuracy'])

model.fit(X_train, Y_train,
batch_size=32, nb_epoch=10, verbose=1)

score = model.evaluate(X_test, Y_test, verbose=0)
```



# Résultat



# Evolutions :

**Simulation :**  : 4,35 milliards de km

 : Drive constellation → réalisme, météo, imprévu

R&D :   
**ENABLE S3**

**Collecte :**  'shadow mode', Cartes 3d HD enrichies  
**TESLA**

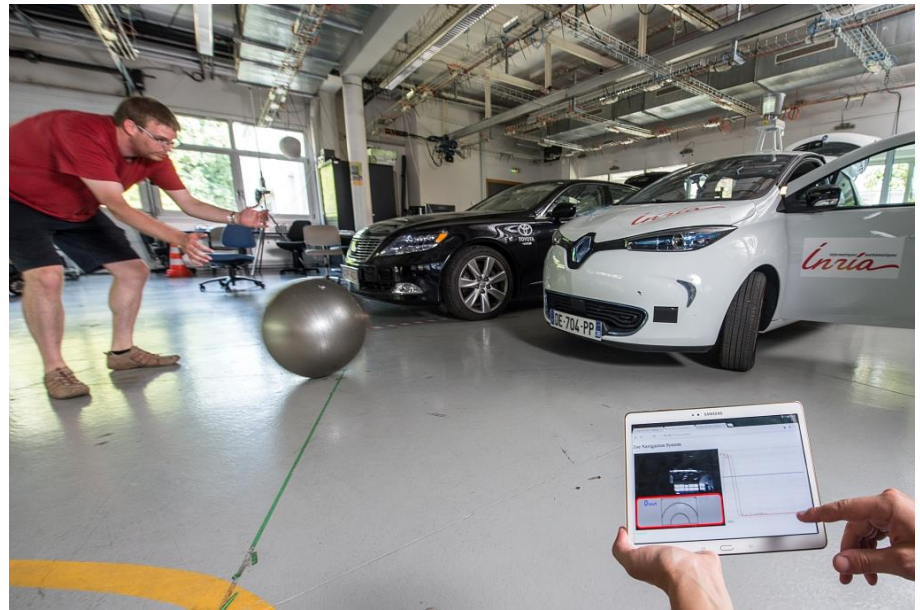
## Evolutions matérielle



## Communications V2X



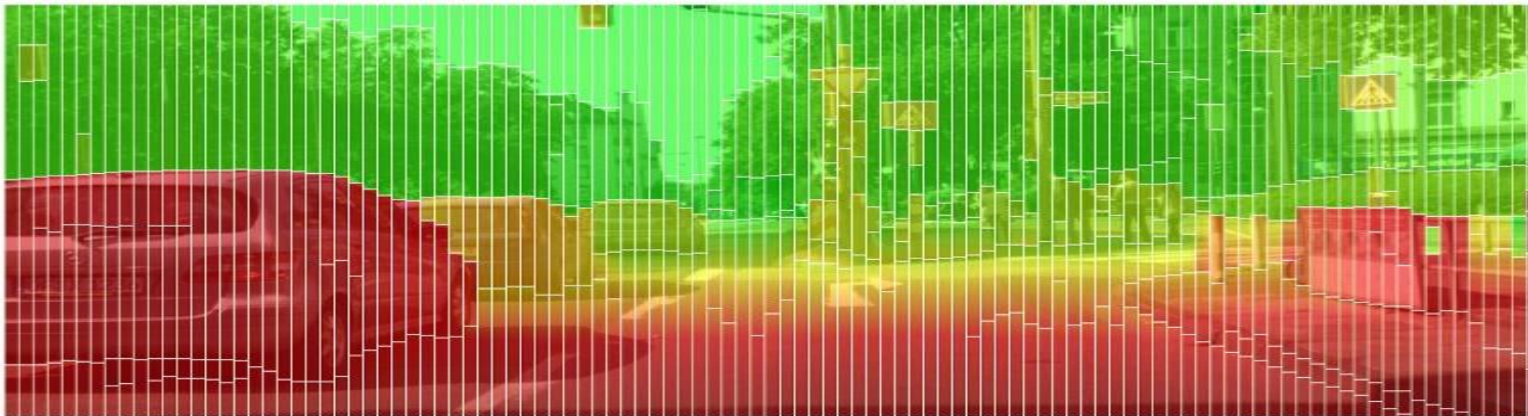
Merci de votre attention !



# Stixels



Semantic representation, where Stixel colors encode semantic classes following [20].



Depth representation, where Stixel colors encode disparities from close (red) to far (green).